

## 静的不安定挙動の解析における効率化に関する研究

京都大学工学部 正員 丹羽義次  
 京都大学工学部 正員 渡辺英一  
 大成建設 正員 ○立石 章

### 1. はじめに

離散化手法を用いて幾何学的非線形解析する場合、globalな剛性行列の作成、その逆行列演算が多数回必要となり、多大の記憶容量と計算時間を要する。そこで本研究では、Fig. 1 に示す各手法を施して、平板・リブ付板を対象とした弾性後座屈・有限変位解析の効率化を図った。

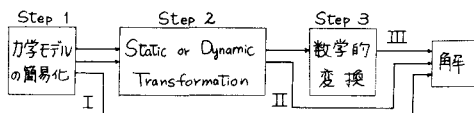


Fig. 1 効率化の手法と手順

ここに各Stepの簡単な説明をする。

(Step 1) SEM (Simplified Element Method) を用いる。これは板要素の場合、曲げには剛で面内変形・ねじり変形は許すという要素と、曲げに抵抗するためのバネにより表現されたモデルである。

(Step 2) 消去や繰返し演算により低次元化する手法で、本研究では全体自由度から面外自由度への Static Trans. を行っている。  
 (Step 3) 固有値解析の際得られるモーダルマトリックス等により線形座標変換を行い、大幅な低次元化が可能となる。

なお問題の定式化は文献[1, 2]に既に発表されているので、ここでは省略する。

### 2. 解析手法

幾何学的非線形問題における global なつ

り合式を解くために、線形化手法として自己修正型振動法を用いる。これにより振動法では問題のある誤差の伝播を、ある程度解消できる。

また静的不安定挙動解析における境界での載荷条件として次の2方法が考えられる。一つは、等価節点力を与えて非線形解析する方法で、荷重は解析の全過程を通して初期の荷重モードで表現される。以下これを荷重制御方式と呼ぶ。

他の一つは、載荷刃上の節点に載荷方向の面内変位増分を与えて非線形解析する方法で、その面内変位増分は面内圧縮、面内せん断等の各問題に応じてモードで表現する。以下これを変位制御方式と呼ぶ。

### 3. 解析結果

本研究では、(i) 平板の面内圧縮、(ii) 平板の面内せん断、(iii) 平板の面内曲げ、(iv) リブ付板の面内圧縮について、主に procedure II により解析した。各問題とも周辺単純支持正方形板とし、前述の荷重・変位制御方式を用いた。なおリブ付板は、載荷方向中央に一本の対称リブを持つ構造である。

#### (1) 効率化の効果

各Stepによる効果を要約する。

(Step 1) FEMのACMモデルによる解析と比較して、幾何学的非線形剛性行列の要素数は大幅に減少し、たとえば板要素の場合、要素数はFEMなら20736個、S

EMなら256個となる。また非線形解析に要する計算時間もEMならFEMの約2) %にまで短縮される。

(Step2) procedure I と procedure II を比較して、計算時間は約1/6にまで短縮される。(Table 1 参照)

(Step3) procedure III と procedure II を比較して、剛性行列の並行列演算時間は大幅に短縮されるが、全体、計算時間は約1/6程度の短縮にとどまっている。(Table 1 参照)

(i) の変位制御方式による解を Fig.2-3 に示す。以下結果を要約する。

1. (i), (ii), (iii)において、荷重・変位面外変位方式とともに分割数に対する収束性は良好で、特に(i)では八巻の解との比較から十分な精度が得られている。

2. (iv)においては、当然ではあるが、リブの曲げ、ねじり剛性が大ほど、平板の場合より分割・増分とともに細かくとらなければ、精度の良い解は期待できない。

3. 荷重制御方式による  $\frac{\text{荷重}}{\text{初期}}$  荷重一面外変位関係の下に、変位制御方式の  $\frac{\text{荷重}}{\text{初期}}$  が下方に位置する。

4. 不つり合力は次式で評価した。

$$F = \frac{1}{N} \sum_{i=1}^N |F_i|$$

$F_i$  は各自由度の不つり合力、N は全自由度。

結果より F が分割に関係なく収束の傾向を示した場合は、解も分割数に対

する収束性を持つ。また Fig.2 荷重一面外変位関係

F に急速かつ 1 オーダーを超える増加が発生した時、誤ま、失解を追う可能性が強い。

なお詳細な結果は当日発表する。

#### 4. 参考文献

1) 立石・丹羽・渡辺: 線形学的非線形問題における直交元化について、土木学会関西支部年譲工-14, 1978.

2) 福井・丹羽・渡辺: 線形学的非線形解析における效率化および精度に関する基礎的研究、坏学会関西支部年譲工-7, 1979.

3) N. Yamaki: Postbuckling Behavior of Rectangular Plates with Small Initial Curvature Loaded in Edge Compression, Journal of Applied Mech., Vol. 26, 1959, pp. 407-414.

Table 1 Procedure I, II, III における計算時間

N : 非線形剛性行列の自由度

A : 非線形剛性行列(Step2あたり)の計算時間 単位 m sec

B : 非線形剛性行列の並行列演算時間 単位 m sec

全結果は荷重制御方式による。ただし ( ) 内は変位制御方式による

	Procedure I			Procedure II			Procedure III					
	N	A	B	B/A (%)	N	A	B	B/A (%)	N	A	B	B/A (%)
3 × 3	31	34	20	58.8	4	14 (22)	1 (1)	7.1 (4.5)	4	13	1	7.7
4 × 4	53	125	90	72.0	9	40 (69)	1 (1)	2.5 (1.4)	4	37	1	2.7
5 × 5	81	374	304	81.3	16	101 (193)	4 (4)	4.0 (2.1)	4	93	1	1.1
6 × 6	115	973	850	87.4	25	236 (489)	13 (13)	5.5 (2.7)	4	213	1	0.47
7 × 7	155	3050	2848	93.4	36	515 (1136)	34 (35)	6.6 (3.1)	4	474	1	0.21
8 × 8	201	6521	6197	95.0	49	1068 (2435)	80 (87)	7.5 (3.6)	4	973	1	0.10

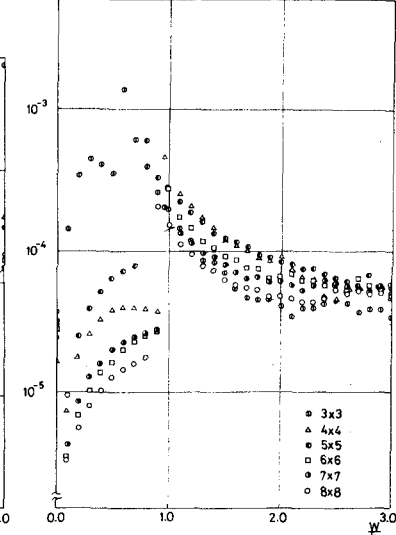
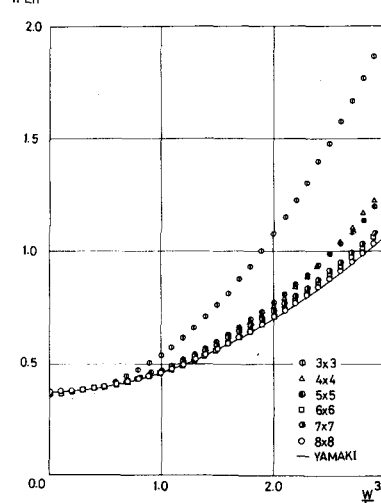


Fig.3 不つり合力一面外変位関係